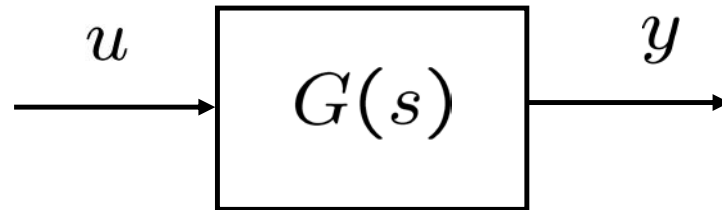


Progetto del controllore

Il caso dei sistemi LTI a tempo continuo

- Esempio 3 (instabile in anello aperto)

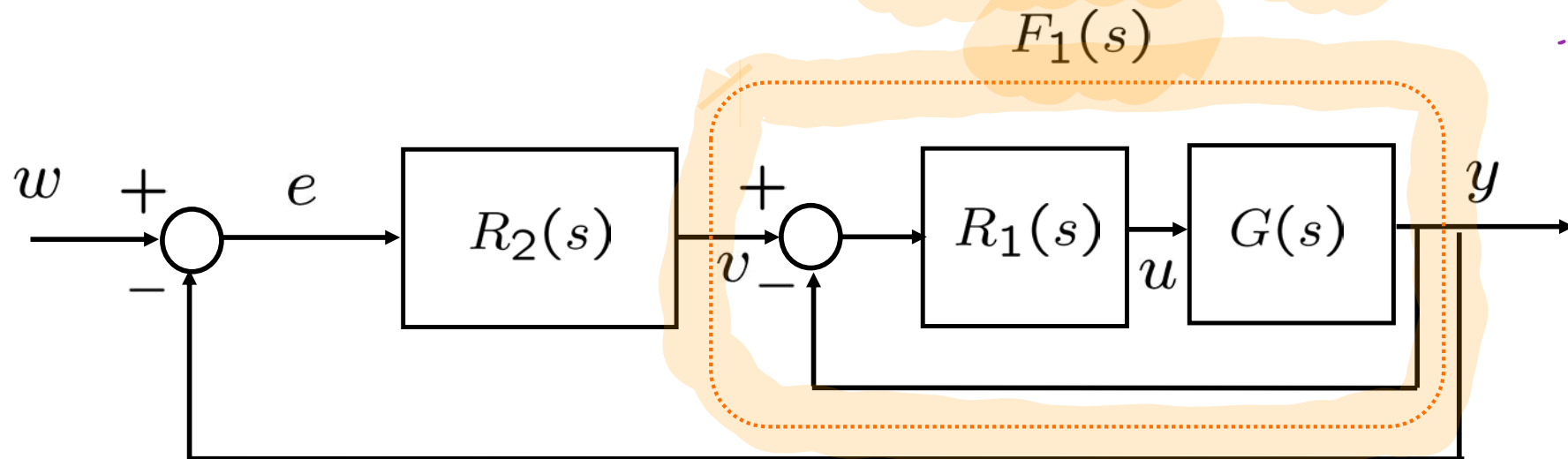


$$G(s) = \frac{1}{s - 1}$$

- Specifiche di progetto:

- $|e(\infty)| = 0$ con $w(t) = A \cdot 1(t)$
- $\omega_c \geq 0.5$
- $\varphi_m \geq 45^\circ$

La via piu` semplice e` utilizzare il cosiddetto **schema a doppio anello**:



$R_1(s)$ ha il compito di stabilizzare il sistema da controllare

$R_2(s)$ ha il compito di far si` che le specifiche di progetto siano soddisfatte

Il progetto di $R_1(s)$ puo` essere condotto semplicemente cosi` :

$$R_1(s) = \mu_1$$



$$L_1(s) = \frac{\mu_1}{s - 1}$$

$$\hat{R}_1 = \frac{\mu_1}{1 + \frac{1}{100}s}$$



$$F_1(s) = \frac{L_1(s)}{1 + L_1(s)} = \frac{\mu_1}{s - 1 + \mu_1}$$

$$\mu_1 > 1$$

Scegliendo per esempio $\mu_1 = 11$ si otterrebbe

$$F_1(s) = \frac{1.1}{1 + 0.1s}$$

$$\hat{\mu}_1 = 51$$

$$\hat{F}_1(s) = \frac{51/50}{1 + \frac{1}{50}s}$$

Il progetto di $R_2(s)$ e' ora molto semplice. Per esempio

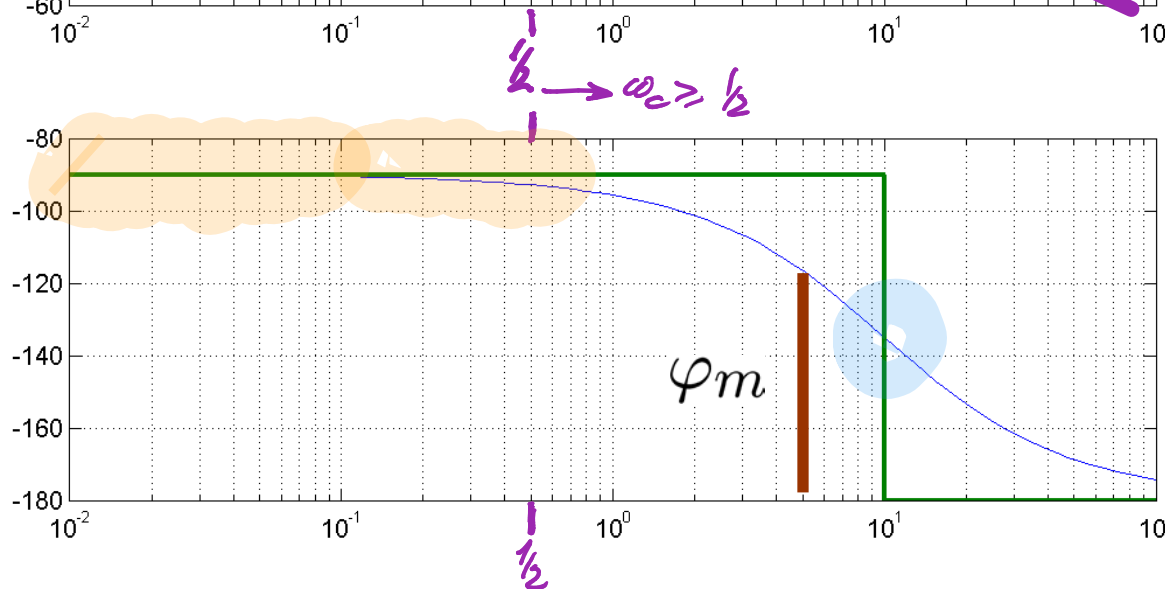
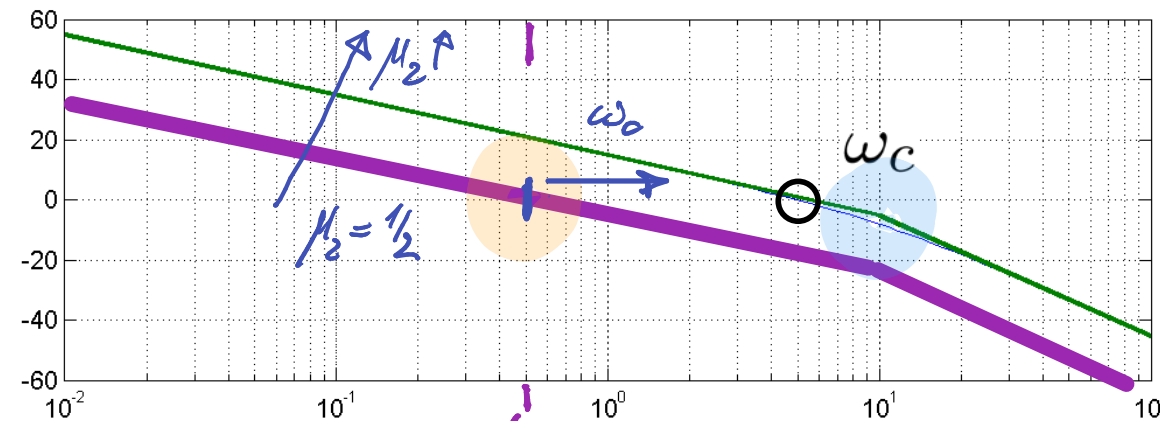
$$R_2(s) = \frac{5}{s} \quad \frac{\mu_2}{s}$$

↓

$$L_1(s) = \frac{5.5}{s(1 + 0.1s)}$$

- $|e(\infty)| = 0$
- $\omega_c \simeq 5.5$
- $\varphi_m \simeq 61^\circ$

$\nabla L(j5.5) \simeq -115^\circ$



Progetto di regolatori standard

~~Reti correttrici~~

Regolatori PID (Cenni)

Strutture dei regolatori standard

- Reti correttrici
 - Rete anticipatrice
 - Rete ritardatrice
 - Rete a sella
- Regolatori PID (**breve cenno; esempi in Esercitazioni**)

Regolatori PID

- Regolatori con azione di controllo

- proporzionale
- integrale
- derivativa



$$\begin{aligned} u(t) &= K_p \left[e(t) + \frac{1}{T_i} \int_0^t e(\tau) d\tau + T_d \dot{e}(t) \right] \\ &= K_p e(t) + K_i \int_0^t e(\tau) d\tau + K_d \dot{e}(t) \end{aligned}$$

Parametri dei PID

- coefficienti dell'azione P, I, D

$$K_p, K_i, K_d$$

- (costante di) tempo dell'azione I, D

$$T_i, T_d$$

- 1.° legame tra i parametri

$$T_i = \frac{K_p}{K_i}, \quad T_d = \frac{K_d}{K_p}$$

Schema a blocchi di un PID ideale

- Forma standard

$$R(s) = K_p \left[1 + \frac{1}{s T_i} + s T_d \right]$$

- Forma "interagente"

$$R(s) = K'_p \left(1 + \frac{1}{s T'_i} \right) (1 + s T'_d)$$

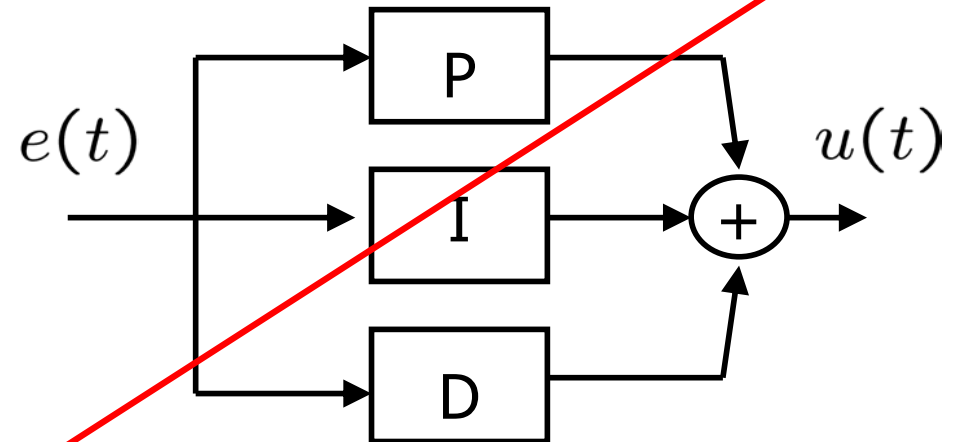
- Forma "in parallelo"

$$R(s) = K_p + \frac{K_i}{s} + s K_d$$

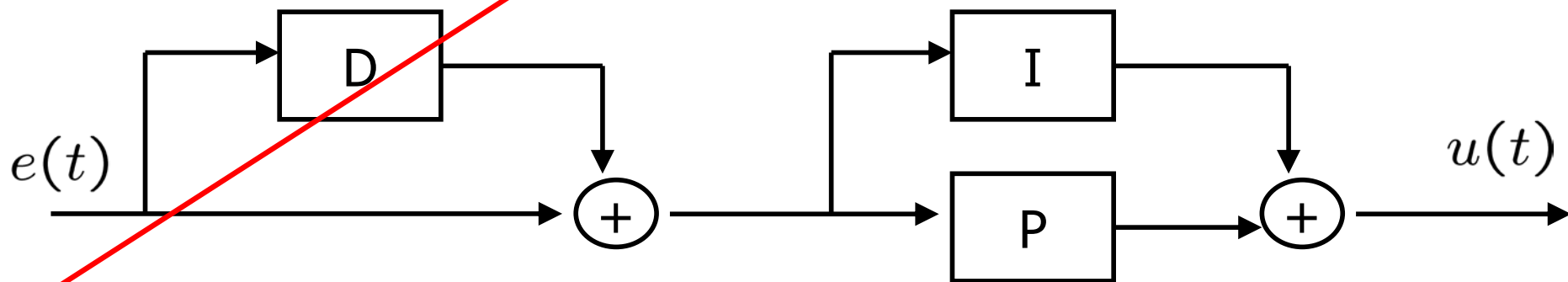
È PID ideale perchè la **fdt non è propria** (2 zeri/1 polo).

Schema a blocchi di un PID ideale (2)

- Forma non interagente



- Forma interagente



Legami tra i parametri

- Standard vs parallela $T_i = \frac{K_p}{K_i}, \quad T_d = \frac{K_d}{K_p}$
- Da interagente a non interagente

$$K_p = K_p' \frac{T_i' + T_d'}{T_i'}$$

$$T_i = T_i' + T_d'$$

$$T_d = \frac{T_i' T_d'}{T_i' + T_d'}$$

- Da non interagente ad interagente

$$T_i \geq T_d$$



$$K'_p = \frac{K_p}{2} \left(1 + \sqrt{1 - \frac{4T_d}{T_i}} \right)$$

$$T'_i = \frac{T_i}{2} \left(1 + \sqrt{1 - \frac{4T_d}{T_i}} \right)$$

$$T'_d = \frac{T_i}{2} \left(1 - \sqrt{1 - \frac{4T_d}{T_i}} \right)$$

Perchè 3 strutture?

- La forma non interagente (e quindi anche quella parallela) è più generale di quella interagente.
- La forma interagente è stata storicamente la prima a venire utilizzata (regolatori pneumatici) e secondi molti testi è la più semplice da tarare manualmente.
- In effetti T'_i e T'_d esprimono direttamente le costanti di tempo degli zeri della fdt in forma interagente.

Osservazioni: valori ammissibili dei parametri

- ~~• Qualsiasi sia la forma scelta per il PID ideale, esso ha una fdt con 2 zeri ed 1 polo.~~
- In particolare **il polo è fisso** nell'origine, **gli zeri sono funzione dei parametri.**
- Esistono allora dei **vincoli** per i parametri? **SI!**
 - Gli **zeri** del regolatore devono essere **a parte reale negativa**, cioè il **regolatore** PID deve avere una fdt **a fase minima!**
- ~~• Questa richiesta vincola i parametri che compaiono nella fdt del PID.~~

- Forma interagente  zeri reali negativi

$$R(s) = K'_p \left(\frac{1 + sT'_i}{sT'_i} \right) (1 + sT'_d) \quad \begin{matrix} K'_p > 0 \\ T'_i, T'_d > 0 \end{matrix}$$

- Forma non interagente  zeri a parte reale negativa

$$R(s) = K_p \frac{1 + sT_i + s^2T_iT_d}{sT_i} \quad \begin{matrix} K_p > 0 \\ T_i, T_d > 0 \end{matrix}$$

- Forma parallela  zeri a parte reale negativa

$$R(s) = \frac{K_i + sK_p + s^2K_d}{s} \quad \begin{matrix} K_p > 0 \\ K_i, K_d > 0 \end{matrix}$$

PID realizzabile

- Si limita l'amplificazione del "derivatore" ad alta frequenza introducendo un filtro LP del 1.° ordine

$$K_p T_d s \quad \longrightarrow \quad \frac{K_p T_d s}{1 + s \frac{T_d}{N}}$$

$$5 (10) \leq N \leq 10 (100)$$

- In questo modo la fdt del PID diviene propria (PID realizzabile).

FdT del PID realizzabile

$$R(s) = K_i \frac{\left[1 + s \left(T_i + \frac{T_d}{N} \right) + s^2 T_i T_d \left(1 + \frac{1}{N} \right) \right]}{s \left(1 + s \frac{T_d}{N} \right)}$$

$$R(s) = K_i \frac{(1 + s \hat{\tau}_1) (1 + s \hat{\tau}_2)}{s (1 + s \hat{\tau}_3)}$$

$$N \gg 1$$

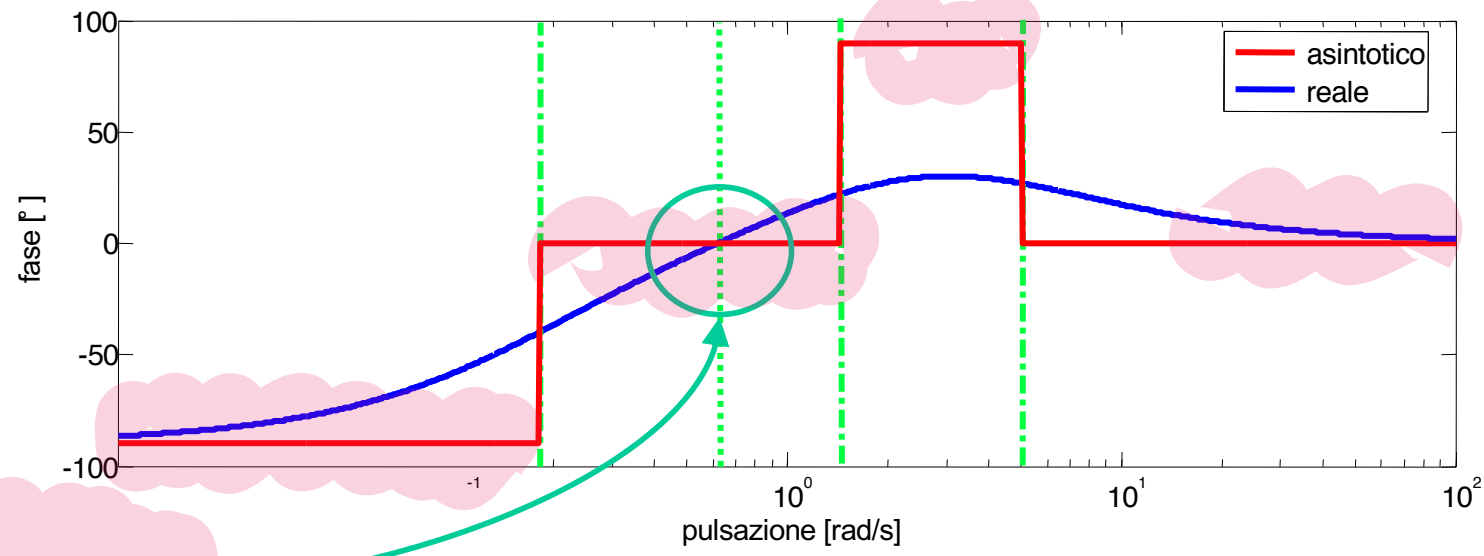
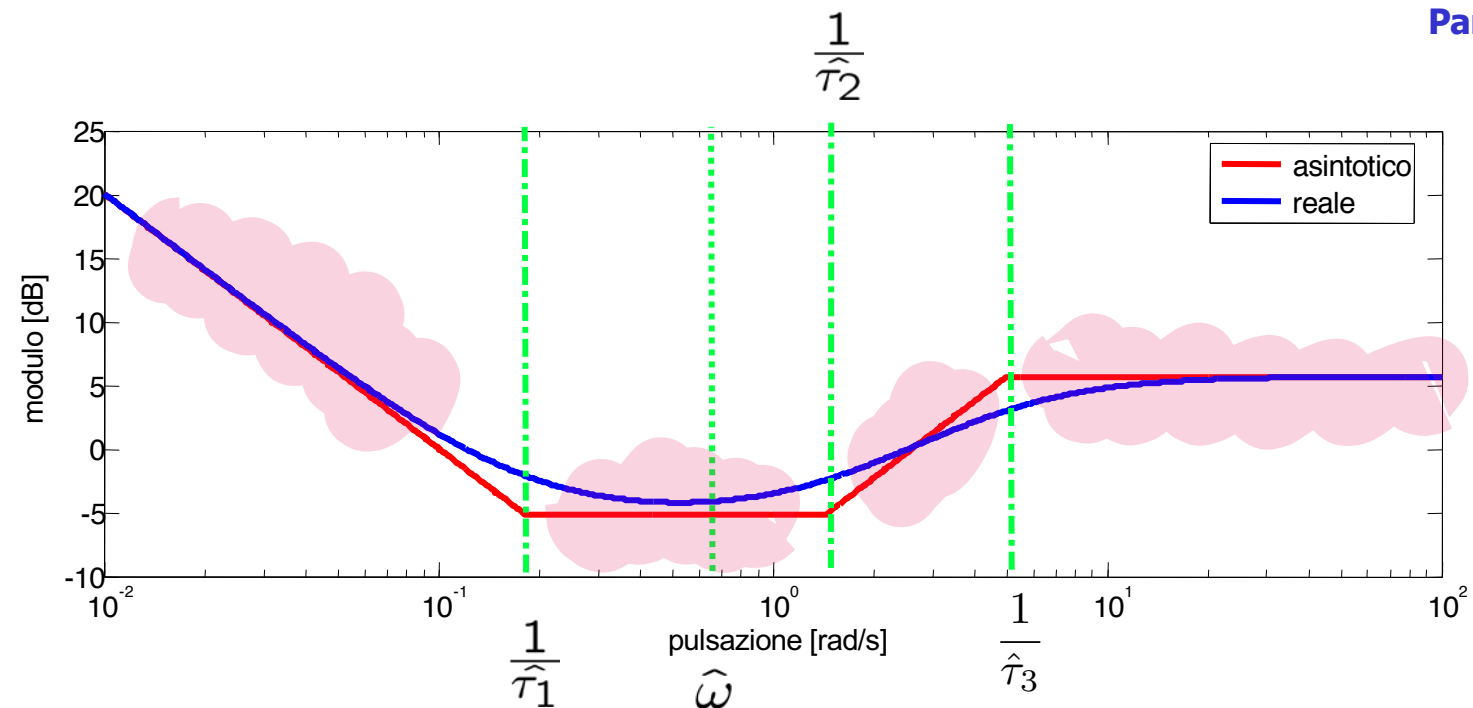
$$T_d < T_i$$

$$\hat{\tau}_1 \approx \tau_1$$

$$\hat{\tau}_2 \approx \tau_2$$

$$\hat{\tau}_3 \ll \hat{\tau}_1, \hat{\tau}_2$$

PID ideale



Sfasamento nullo

$\frac{1}{\hat{\tau}_2}$

PID e pulsazione a sfasamento nullo

- Partendo dall'espressione

$$R(s) = K_i \frac{(1 + s \hat{\tau}_1) (1 + s \hat{\tau}_2)}{s (1 + s \hat{\tau}_3)}$$

ed imponendo $\angle R(j\hat{\omega}_{\text{reale}}) = 0$

si ottiene
$$\hat{\omega}_{\text{reale}} = \frac{1}{\sqrt{\hat{\tau}_1 \hat{\tau}_2 - (\hat{\tau}_1 + \hat{\tau}_2) \hat{\tau}_3}}$$

Lo si verifichi

- Partendo invece dall' espressione del PID non fisicamente realizzabile in forma non interagente

$$R(s) = K_p \frac{1 + sT_i + s^2 T_i T_d}{s T_i} = K_i \frac{(1 + \tau_1 s)(1 + \tau_2 s)}{s}$$

imponendo

$$\angle R(j\bar{\omega}_{ideale}) = 0$$

si ottiene stavolta

$$\bar{\omega}_{ideale} = \frac{1}{\sqrt{\tau_1 \tau_2}}$$

Lo si verifichi

- Si noti che

$$\hat{\tau}_3 \ll \hat{\tau}_1, \hat{\tau}_2$$



$$\hat{\omega}_{reale} \approx \bar{\omega}_{ideale}$$

Effetto del polo aggiuntivo LP: scelta di N

- Affrontiamo ora il problema del rumore di misura: come moderare l'effetto del rumore sulla legge di controllo di tipo derivativo? Si utilizza il polo aggiuntivo LP.
- Al crescere di N, il PID realizzabile si comporta sempre più come quello ideale.
- Al crescere di N è sempre minore l'azione filtrante LP sul rumore: si eccita sempre più l'attuatore con segnale indesiderato (si amplifica il rumore di misura; la sensitività del controllo cresce [in modulo] alle alte frequenze).
- **Scelta "ottima"**: determinare un valore "basso" di N, che ponga comunque il polo in $-N/T_D$ **al di fuori della banda di interesse** per il controllo.